

1. はじめに：— 飽和粘土の構成関係を確立しようとする際には、レオロジー的挙動を考慮する必要がある。しかし、粘土のレオロジー特性は複雑であるので、現状では、何らかの構成仮説にとづいて現象を系統的に整理し、さらにその結果にとづいて理論を改良していくことが望まれる。本報告は、村山らによ<sup>1), 2)</sup>て粘土に対して提案されたレオロジー理論の  $K_0$  壓密後のレオロジー的挙動への適用性について検討を加えるものである。

2. 理論 — 等方圧密後の場合：— 軸対称非排水条件下における粘土のレオロジー的挙動を解析するために、村山らは次式の構成関係を提案してい<sup>1), 2)</sup>る。

$$\sigma_d(t) = \sigma_d^{\infty}\{e_d(t)\} + \sigma_d^R(t), \quad (1)$$

$$\sigma_m'(t) = \sigma_m'^{\infty}\{e_d(t)\} + \sigma_m'^R(t), \quad (2)$$

$$\sigma_d^R(t) = (3/2) \int_{-\infty}^t \mu(t-\tau; |e_a(t,\tau)|) e_a(t,\tau) d\tau, \quad (3)$$

$$\sigma_m'^R(t) = |\sigma_d^R(t)|/N, N=3, \quad (4)$$

ここで、 $\sigma_d = \sigma_d' - \sigma_r'$ ,  $\sigma_m' = (\sigma_d' + 2\sigma_r')/3$ ,  $e_a(t,\tau)$  は時刻  $t$  の配位に相対的な時刻  $\tau$  における相対軸ひずみ、 $\mu(t-\tau; |e_a(t,\tau)|)$  は相対ひずみ依存応答関数、 $e_d = e_a - e_r$  は等方圧密終了時の配位に相対的な主ひずみ差、 $\sigma_d', \sigma_r'$  は軸方向、半径方向の有効主応力をそれぞれ示している。

等方圧密後の平衡時のストレス・パスは次式で表現できるようである。<sup>2), 3), 4), 5)</sup>

$$|\sigma_d^{\infty}|/\sigma_m'^{\infty} = \frac{\lambda}{(1+\epsilon_0)} \ln \left( \sigma_m'^{\infty}/\sigma_m'^{\infty} \right), \quad (5)$$

ここで、 $\lambda = -\partial \epsilon / \partial \ln \sigma_m'$  は圧縮指數、 $D$  はダイレイタンシー係数、 $\epsilon_0$  は初期間げき比、 $\sigma_m'^{\infty}$  は初期平均有効主応力である。有限のひずみ速度下のストレス・パスは、(1), (2), (4), (5) 式より次式によって求められる。<sup>2)</sup>

$$|\sigma_d - \sigma_d^R|/\{\sigma_m' - |\sigma_d^R|/N\} = \frac{\lambda}{(1+\epsilon_0)} \ln \left\{ \sigma_m'/(\sigma_m' - |\sigma_d^R|/N) \right\}. \quad (6)$$

相対ひずみ依存応答関数の具体的な形はつきのようく求められていく。<sup>1), 2)</sup>

$$\mu(t-\tau; |e_a(t,\tau)|) = \mu(t-\tau)/|e_a| \quad \text{for } |e_a(t,\tau)| \leq |e_a|, \quad (7)$$

$$\mu(t-\tau; |e_a(t,\tau)|) = \mu(t-\tau)/|e_a(t,\tau)| \quad \text{for } |e_a(t,\tau)| \geq |e_a|, \quad (8)$$

$$\mu(t-\tau) = \int_{-\infty}^{\infty} \frac{H(\lambda)}{\lambda} \exp\left(-\frac{t-\tau}{\lambda}\right) d\ln \lambda, \quad (9)$$

$$H(\lambda) = H_0 \quad \text{for } \lambda_L \leq \lambda \leq \lambda_U, \quad H(\lambda) = 0 \quad \text{if otherwise}, \quad (10)$$

ここで、 $e_a$ :限界軸ひずみ、 $H_0$ :定数、 $\lambda_U$ :最長緩和時間、 $\lambda_L$ :最短緩和時間である。

$K_0$  壓密後の場合：— まず、(1)～(4) 式および(7)～(10) 式は、 $K_0$  壓密後にも成立すると仮定する。ただし、 $e_d$  としては、 $K_0$  壓密終了後の配位に相対的な主ひずみ差を考えることにする。

太田は、(5) 式を拡張し、 $K_0$  壓密後の平衡時のストレス・パスを求めている。しかし、受動の場合には、 $\sigma_d/\sigma_m'$  の値は正から負の値まで変化するが、このような状況下のダイレイタンシーについては、主動の場合に比してデーターが少ないようである。そこで、次式の形で平衡時のストレス・パスを考えたい。

$$\sigma_d^{\infty}/\sigma_m'^{\infty} = \frac{\lambda}{(1+\epsilon_0)} D_a \ln \left\{ (\sigma_m')_{K_0} / \sigma_m'^{\infty} \right\} + \gamma K_0 \quad \text{for active loadings}, \quad (11)$$

$$\sigma_d^{\infty}/\sigma_m'^{\infty} = -\frac{\lambda}{(1+\epsilon_0)} D_p \ln \left\{ (\sigma_m')_{K_0} / \sigma_m'^{\infty} \right\} + \gamma K_0 \quad \text{for passive loadings}, \quad (12)$$

ここで、 $(\sigma_m')_{K_0}$ 、 $\gamma K_0$  は  $K_0$  壓密状態における  $\sigma_m'$ 、 $\sigma_d/\sigma_m'$  の値である。

なお、(11), (12) 式で  $D_a = D_p = D$  とおけば、太田による星原式<sup>3)</sup>と一致する。

(1), (2), (4), (11), (12)式から、有限のひずみ速度下のストレス・パスとして次式を得る。

$$\frac{\sigma_d - \sigma_d^R}{\sigma_m' - \sigma_d^R/N} = \frac{\lambda}{(1+e_a)D_a} \ln \left\{ (\sigma_m')_{K_0}/(\sigma_m' - \sigma_d^R/N) \right\} + \eta K_0 \quad \text{for active loadings}, \quad (13)$$

$$\frac{\sigma_d - \sigma_d^R}{\sigma_m' + \sigma_d^R/N} = -\frac{\lambda}{(1+e_a)D_p} \ln \left\{ (\sigma_m')_{K_0}/(\sigma_m' + \sigma_d^R/N) \right\} + \eta K_0 \quad \text{for passive loadings}. \quad (14)$$

つぎに、非排水強度の異方性について考えてみる。破壊時の主応力比  $(\sigma_1'/\sigma_3')_f$  の値が、主動および受動で等しいものと考えると、ひずみ速度効果がない場合における非排水強度の異方性を表わす次式が、(11), (12)式より求められる。

$$(|S_u|/P_o)/(S_u/P_o)_a = \frac{|\gamma_{sp}|}{\gamma_{fa}} \exp \left[ \left\{ \gamma_{fa} - \eta K_0 + (D_p/D_a)(\gamma_{sp} - \eta K_0) \right\} / \left( \frac{\lambda}{(1+e_a)D_a} \right) \right], \quad (15)$$

ここで、 $S_u = (\sigma_d)_{max}/2$ ,  $\gamma = \sigma_d/\sigma_m'$ ,  $P_o = (\sigma_1')_{K_0}$  である。

次節に述べる実験結果との比較を容易にするために、対応する理論式を示しておこう。<sup>1), 2)</sup>

$$\text{定速変形: } \sigma_d^R = (3/2)H_0 \frac{\epsilon_a}{|\epsilon_{ac}|} \left\{ 1 - E_i \left( -\frac{\epsilon_a}{\epsilon_a \lambda_u} \right) \right\} \quad \text{for } |\epsilon_a| \leq |\epsilon_{ac}|, \quad (16)$$

$$\sigma_d^R = (3/2)H_0 \frac{\epsilon_{ac}}{|\epsilon_{ac}|} \left\{ 1 - E_i \left( -\frac{\epsilon_{ac}}{\epsilon_a \lambda_u} \right) \right\} \quad \text{for } |\epsilon_a| \geq |\epsilon_{ac}|. \quad (17)$$

定速変形停止後の応力緩和:

$$\sigma_d^R = (3/2)H_0 \frac{\epsilon_a}{|\epsilon_{ac}|} \left\{ \exp \left( -\frac{\epsilon_a}{\lambda_u} \right) + \frac{t}{\xi} E_i \left( -\frac{\epsilon_a}{\lambda_u} \right) - \left( \frac{t}{\xi} + 1 \right) E_i \left( -\frac{\epsilon_a + t}{\lambda_u} \right) \right\} \quad \text{for } |\epsilon_a| \leq |\epsilon_{ac}|, \quad (18)$$

$$\sigma_d^R = (3/2)H_0 \frac{\epsilon_{ac}}{|\epsilon_{ac}|} \left\{ \exp \left( -\frac{\epsilon_{ac}}{\lambda_u} \right) + \frac{t}{\xi} E_i \left( -\frac{\epsilon_{ac}}{\lambda_u} \right) - \left( \frac{t}{\xi} + 1 \right) E_i \left( -\frac{\epsilon_{ac} + t}{\lambda_u} \right) \right\} \quad \text{for } |\epsilon_a| \geq |\epsilon_{ac}|, \quad (19)$$

$$\xi = \epsilon_a/\dot{\epsilon}_a, t_c = \epsilon_{ac}/\dot{\epsilon}_a. \quad (20)$$

### 3. $K_0$ 圧密後のレオロジー試験による検討: - N G I型3軸試験

装置を用いて、圧縮・伸長両条件下で非排水定速変形、ならびに定速変形停止後の応力緩和試験を行なっている。初期有効応力  $(\sigma_d)_{K_0}$ ,  $(\sigma_m')_{K_0}$  としては、等方圧密応力  $\sigma_e = 2 \text{ kg/cm}^2$  の試料と同一の間隔比  $\lambda$  が得られるよう、 $\eta = \eta_{K_0}$  と  $\eta = 1.739 \ln \{2/(\sigma_m')_{K_0}\}$  との交点の座標を選んだ。用いた試料は、文献<sup>2)</sup>に報告されている練返し大阪南港粘土で、その物理特性は、 $LL = 110.5\%$ ,  $PL = 41\%$ ,  $G_s = 2.69$  である。Table 1.に試験条件を示している。

図-1に定速変形試験結果を示す。図中の  $\overline{AB}$  は(5)式によらず平衡時のストレス・パスである。 $\overline{BC}$  は、(11)式による主動における平衡時のストレス・パスである。 $\overline{BF}$ ,  $\overline{BG}$  は(12)式による受動における平衡時のストレス・パスである。なお、ここで  $D_a = D$  を仮定している。パス  $\overline{BDE}$  は

$\dot{\epsilon}_a = 5.5 \times 10^{-4} \text{ min}^{-1}$  の場合の理論曲線で、(13), (17)式に文献<sup>2)</sup>に報告された定数値を代入したものである。実測値と理論値とが対応していることが認められる。また、(14), (17)式によれば、受動においても平衡時のストレス・パスは有限のひずみ速度下のストレス・パスと  $|\epsilon_a| \geq |\epsilon_{ac}|$  領域では平行になるべきである。実測によれば、このことが満足されるには、 $D_p/D_a$  が大略 0.6 程度の値をとる必要があるようである。

図-2は、定速変形と応力緩和を組合せた試験の結果である。○印は定速変形時の実測値であるが、ほぼ(13), (17)式によらず理論曲線上にプロットされている。●印は応力緩和時のストレス・パスであるが、ほぼ勾配 3:1 で  $\sigma_d$  と  $\sigma_m'$  は減少しており、主動では、 $K_0$ 圧密後(4)式が成立することがわかる。

図-3は、定速変形後の応力緩和曲線である。上側3本の実験は、(1), (19)式によらず理論曲線、最下側

Table 1. Test conditions of the remolded Osaka-Nanko clay

Test No	$1 + e_0$	$(\sigma_1')_{K_0}$ $\text{kg/cm}^2$	$(\sigma_3')_{K_0}$ $\text{kg/cm}^2$	$K_0$	$\dot{\epsilon}_a$ %/min
1	2.597	1.930	0.97	0.50	0.057
2	2.605	1.950	0.97	0.50	0.055
3	2.577	1.934	0.97	0.50	-0.056
4	2.647	1.951	1.06	0.54	0.055

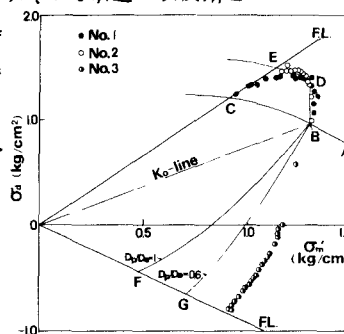


図-1 定速変形試験における有効応力経路

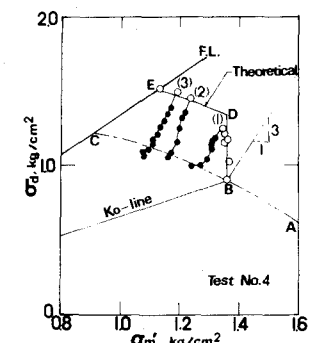


図-2 定速変形と応力緩和を組合せた試験における有効応力経路

の実験は、(1), (18) 式にそとづく理論曲線<sup>2)</sup>である。定数値は、 $\frac{1}{2}K_0 = 0.0652 \text{ kg/cm}^2$ ,  $\epsilon_{ac}/\lambda_4 = 5.5 \times 10^{-6} \text{ min}^{-1}$ ,  $\epsilon_{ac} = 0.4\%$ で、 $t = 1 \text{ min}$ においてフィットを行なっている。図から、実測と理論が対応していることがわかる。

4. ディスカッション：一、図-4ハ、 $K_0$ 圧密後の $\sigma_d$ ～ $\epsilon_a$ 関係を示す。図中の破線は、太田<sup>3)</sup>によつて平衡時の応力～ひずみ曲線である。用いた基礎式は、次式と(11), (12)式で $D_p = D_a = D$ とあつた式である。

$$\epsilon_a = \frac{KD}{\lambda} \ln \left[ \frac{\bar{\lambda} - K}{(1 + e_0)D - \eta K_0} \right] / \left[ \frac{\bar{\lambda} - K}{(1 + e_0)D} - \eta \right] \quad \text{for active loadings,} \quad (21)$$

$$\epsilon_a = -\frac{KD}{\lambda} \ln \left[ \frac{\bar{\lambda} - K}{(1 + e_0)D} + \eta K_0 \right] / \left[ \frac{\bar{\lambda} - K}{(1 + e_0)D} + \eta \right] \quad \text{for passive loadings.} \quad (22)$$

上式中の定数値としては、等方圧密後の $\sigma'_m$  = 一定の排水圧縮試験から $\bar{\lambda} = 0.231$ ,  $D = 0.053$ ,  $K = 0.0425$ を求め、さらべ、 $1 + e_0 = 2.607$ ,  $\eta K_0 = 0.75$ なる初期値を用いた。主動側の実験は、平衡時の応力～ひずみ曲線に、(16), (17)式のレオロジー的寄与を重ね合わせたもので、実測値との対応はまづまずのようである。しかし、受動側では、破線の理論曲線は実測値よりもかなり小さなひずみで、 $(\sigma/\sigma_0)_a$ に達することから、理論を改良すべき余地があるようと思われる。

図-5は、非排水強度比と $D_p/D_a$ との関係を(15)式にそとづいてプロットしたものである。定数値は、練習し南港粘土について算んでいる。図から、 $D_p/D_a = 0.6$ では、受動の場合の強度は主動の場合の約54%であることがわかる。このようべ、 $D_p$ の値の決定は、図-1, 図-5に示されつるようべ、時間効果、異方性を考えるうえに重要であり、今後、さらにその物理的意味を追求するべきであると考える。

5. まとめ：一、 $K_0$ 圧密後の飽和粘土のレオロジー的挙動を解析するためべ、文献1), 2)に述べられた理論を拡張し、主動の場合には、このモデルの妥当性を正規圧密粘土について、実験的に確かめた。受動の場合については、今後、さらにデーターを蓄積したい。

謝辞 指導を賜わ、てりる京都大学防災研究所・村山耕郎教授、実験を共同で行な、てりる京都大学・院生 鳥井原誠氏に感謝の意を表します。

#### 参考文献

- 1) Murayama, S., Setoguchi, H. and Ueda, T. (1974), *Soils and Foundations*, Vol. 14, No. 2.
- 2) 村山耕郎・岡口秀雄・近幾則 (1974), 第9回土質工学研究発表会。
- 3) Ohta, H. (1971), Dr. Eng. Thesis, Kyoto University.
- 4) 足立和尚・安藤信夫 (1973), 第8回土質工学研究発表会。
- 5) 軽部大蔵・栗原則夫 (1966), 土木学会論文集, 第135号。
- 6) 朱田徹 (1963), 京都大学防災研究所年報, 第6号。
- 7) たとえば, Berre, T. and Bjerrum, L. (1973), Proc. 8th Int. Conf. Soil Mech. Found. Eng., 1-1.

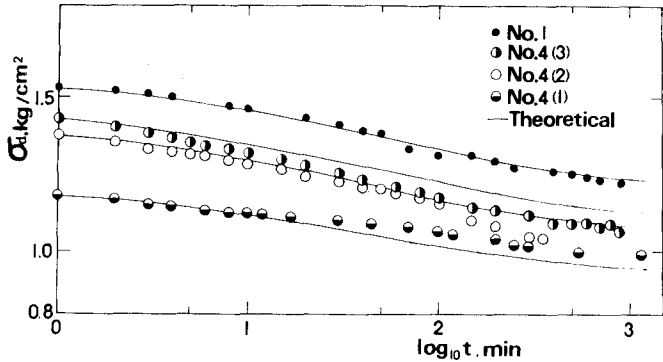


図-3 定速変形停止後の応力緩和曲線,  $\epsilon_a$ : ● 2.00, ○ 1.75  
(%) ○ 0.75, ● 0.30

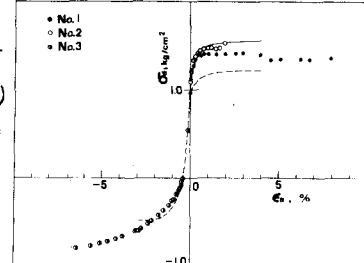


図-4 主動および受動における $\sigma_d$ ～ $\epsilon_a$ 関係

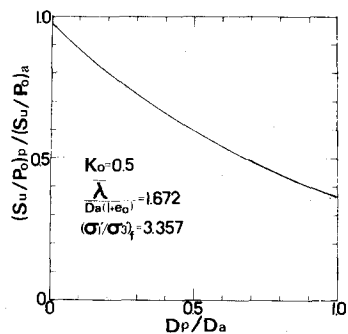


図-5 非排水強度比と  $D_p/D_a$  との理論的関係